



М. 18

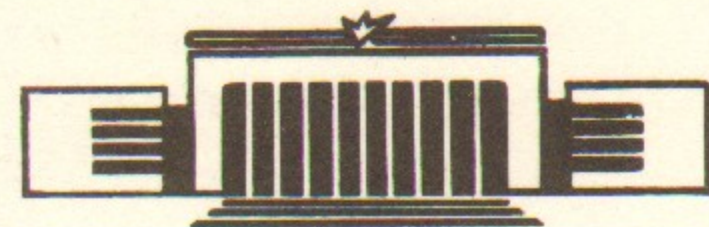
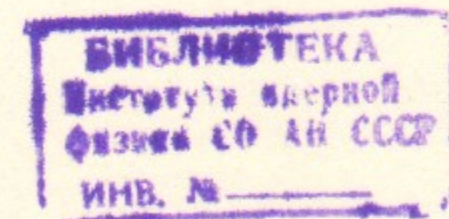
34

ИНСТИТУТ ЯДЕРНОЙ ФИЗИКИ СО АН СССР

В.М.Малкин, Ю.А.Цидулко

АВТОМОДЕЛЬНЫЙ
ЦЕНТРАЛЬНО-СИММЕТРИЧНЫЙ
КОЛЛАПС ЛЕНГМЮРОВСКИХ ВОЛН

ПРЕПРИНТ 84-65



НОВОСИБИРСК

АВТОМОДЕЛЬНЫЙ ЦЕНТРАЛЬНО-СИММЕТРИЧНЫЙ
КОЛЛАПС ЛЕНГМЮРОВСКИХ ВОЛН

В.М.Малкин, Ю.А.Цидулко

АННОТАЦИЯ

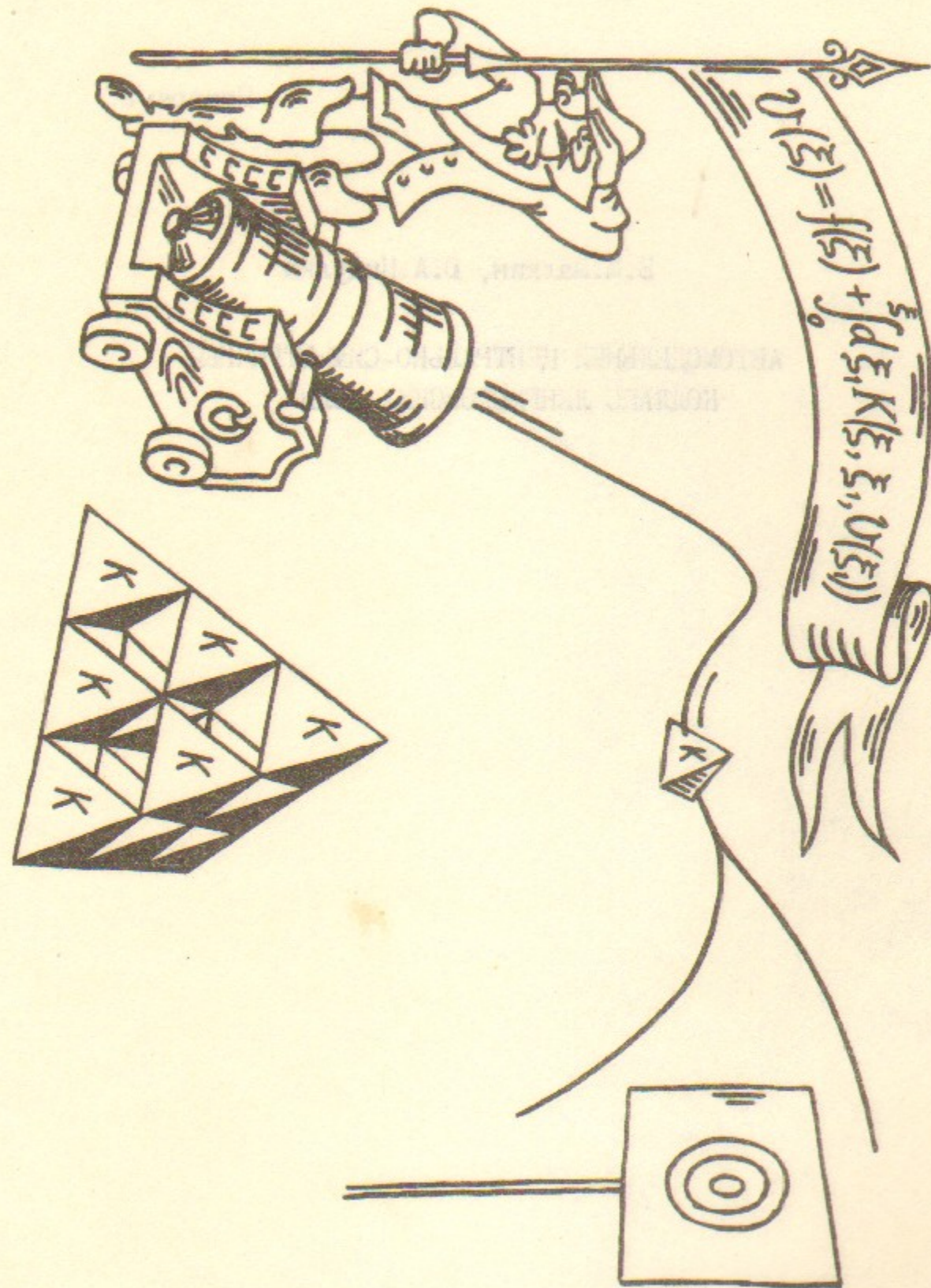
Выявлена долгое время исключавшаяся возможность исследования коллапса ленгмюровских волн в простейшей геометрии. Явно найдено автомодельное решение с центрально-симметричной каверной. Это решение является первым примером автомодельного решения, удовлетворяющего необходимому условию устойчивости $E_s^2 < \frac{14}{9}$ (E_s^2 - среднее значение квадрата электрического поля в центре каверны).

SELF-SIMILAR SPHERICALLY-SYMMETRIC
COLLAPSE OF LANGMUIR WAVES

V.M.Malkin and Yu.A.Tsydulko
630090, Novosibirsk, U.S.S.R.

ABSTRACT

Langmuir wave collapse in the simplest geometry (for a long time considered impossible) is investigated. The self-similar solution with the spherically-symmetric cavity is explicitly found. This solution is the first example of the self-similar solution, which satisfies the necessary condition for the stability: $E_s^2 < \frac{14}{9}$ (E_s is the value of electric field in the centre of the cavity).



I. Введение

Попытки отыскания автомодельных режимов ленгмюровского коллапса предпринимались, начиная с самой первой работы о нем [1]. Сначала обсуждались центрально-симметричные решения, но численные расчеты [2] показали, что при столь высокой симметрии поля коллапс отсутствует. Это получило в [2] простое объяснение: было замечено, что симметричное электрическое поле обращается в нуль в центре каверны и плазма, вытесняясь в область пониженного поля, препятствует развитию коллапса (см., также [3]). Поскольку прямое вычисление несимметричных автомодельных решений при помощи существующих ЭВМ казалось невозможным, стали строиться упрощенные модели. К настоящему времени автомодельные решения удалось отыскать в моделях центрально-симметричного скалярного коллапса и ленгмюровского коллапса сильно сплюснутой каверны [4]. Недавно выяснилось, что эти автомодельные решения, а также все возможные автомодельные решения скалярной модели, неустойчивы относительно малых возмущений [5]. В общем случае ленгмюровского коллапса подобную теорему доказать не удалось, и возник вопрос о существовании автомодельных режимов, удовлетворяющих необходимому условию устойчивости

$$E_s^2 < \frac{14}{9} \quad (I)$$

(E_s - среднее электрическое поле в центре каверны в безразмерных автомодельных переменных (подробнее см. в [5])). В настоящей работе данный вопрос решен: автомодельное решение, удовлетворяющее условию (I), найдено явно.

§ 2. Постановка задачи

В адиабатическом сверхзвуковом пределе коллапс ленгмюровских волн описывается следующими безразмерными уравнениями:

$$\nabla(-\omega_p - n + \Delta)\nabla\varphi_p = 0, \quad (2)$$

$$n_{tt} = \Delta \sum_p |\nabla\varphi_p|^2, \quad (3)$$

$$\frac{d}{dt} \int d^3r |\nabla\varphi_p|^2 = 0. \quad (4)$$

Здесь n - возмущение концентрации плазмы, Ψ_p - адиабатически меняющиеся собственные моды электростатического потенциала. Временная огибающая потенциала Ψ выражается через них следующим образом:

$$\Psi = \sum_p \Psi_p \exp \left\{ i \int \omega_p(t') dt' \right\}.$$

При выводе уравнений (2)-(4) были опущены интерференционные члены в давлении ленгмюровских волн $|\nabla \Psi|^2$. Данное приближение заведомо оправдано, если собственные частоты ω_p не вырождены, так как при этом частота осцилляций интерференционных членов ω , в силу адиабатичности коллапса, гораздо больше обратного времени изменения каверны δ . В случае центрально-симметричной каверны, о котором пойдет речь ниже, уравнения (2)-(4) нуждаются в пояснении. Действительно, при наличии центральной симметрии собственные моды Ψ_p являются одновременно собственными функциями оператора поворота; роль индекса p , нумерующего связанные состояния, играет тройка целых чисел (k, l, m) , где k - "главное квантовое число", l - "орбитальный момент", $m = 0, \pm 1, \dots, \pm l$ - "проекция орбитального момента" на некоторое направление; собственные частоты ω_p не зависят от m , т.е. имеет место $2l+1$ - краткое вырождение. Но в адиабатическом пределе достаточно ничтожного возмущения, нарушающего симметрию каверны, чтобы расщепление вырожденных собственных частот превысило δ и уравнения (2)-(4) стали применимыми. Ниже предполагается, что такое возмущение имеется. Числа заполнения расщепленных уровней считаются одинаковыми. При этом правая часть уравнения (3) с высокой точностью является центрально-симметричной и в процессе эволюции не нарушает симметрии каверны. Таким образом, центрально-симметричный ленгмюровский коллапс возможен. Он и является предметом дальнейшего исследования.

§ 3. Основные уравнения

Автомодельные решения системы (2)-(4):

$$\begin{aligned} \Psi_p(\vec{r}, t) &= \tilde{t}^{-2/3} \Psi_p(\tilde{t}^{-2/3} \vec{r}), \quad \tilde{t} \equiv t_s - t, \\ n(\vec{r}, t) &= \tilde{t}^{-4/3} u(\tilde{t}^{-2/3} \vec{r}), \quad \omega_p(t) = \tilde{t}^{-4/3} \Omega_p. \end{aligned} \quad (5)$$

(t_s - момент образования особенности), - удовлетворяют следующим уравнениям

$$\nabla(-\Omega_p - u + \Delta) \nabla \Psi_p = 0, \quad (6)$$

$$\left(\frac{4}{3} + \frac{2}{3} \xi \frac{d}{d\xi} \right) \left(\frac{7}{3} + \frac{2}{3} \xi \frac{d}{d\xi} \right) u = \Delta \sum_p |\nabla \Psi_p|^2, \quad (7)$$

где ∇ означает уже дифференцирование по $\vec{\xi} = \tilde{t}^{-2/3} \vec{r}$. В центрально-симметричной каверне собственные функции $\Psi_p(\vec{\xi})$ ($p = (k, l, m)$) имеют вид ^{I)}

$$\Psi_{k\ell m}(\vec{\xi}) = \frac{1}{\sqrt{2\ell+1}} R_{k\ell}(\xi) \tilde{Y}_{\ell m} \left(\frac{\vec{r}}{\xi} \right). \quad (8)$$

Радиальные функции $R_{k\ell}(\xi)$ определяются из уравнений:

$$\begin{aligned} & \left\{ \left[\frac{1}{\xi^2} \frac{d}{d\xi} \xi^2 \frac{d}{d\xi} - \frac{\ell(\ell+1)}{\xi^2} \right]^2 - \frac{1}{\xi^2} \frac{d}{d\xi} \xi^2 (u + \Omega_{k\ell}) \frac{d}{d\xi} + \right. \\ & \left. + \frac{\ell(\ell+1)}{\xi^2} (u + \Omega_{k\ell}) \right\} R_{k\ell}(\xi) = 0. \end{aligned} \quad (9)$$

При обычной нормировке сферических функций $Y_{\ell m}$:

$$\int d\Omega_{\vec{\xi}} |Y_{\ell m}(\frac{\vec{r}}{\xi})|^2 = 1, \quad (10)$$

числа заполнения связанных состояний $N_{k\ell m} = \int d^3\xi |\nabla \Psi_{k\ell m}|^2$ не зависят от m и выражаются через функции $R_{k\ell}$ следующим образом:

$$N_{k\ell} \equiv (2\ell+1) N_{k\ell m} = \int_0^\infty d\xi \xi^2 \left[\left(\frac{dR_{k\ell}}{d\xi} \right)^2 + \frac{\ell(\ell+1)}{\xi^2} R_{k\ell}^2 \right].$$

С учетом (8), (10), уравнение (7) приобретает вид

$$\left(\frac{4}{3} + \frac{2}{3} \xi \frac{d}{d\xi} \right) \left(\frac{7}{3} + \frac{2}{3} \xi \frac{d}{d\xi} \right) u = \frac{1}{\xi} \frac{d^2}{d\xi^2} \xi \Phi, \quad (11)$$

I) Здесь $\tilde{Y}_{\ell m} = \frac{1}{\sqrt{2}} (Y_{\ell m} \pm Y_{\ell, -m})$, т.к. с учетом малого возмущения, снимающего вырождение, собственные функции пропорциональны вещественным.

$$\varphi \equiv \sum_p |\nabla \psi_p(\xi)|^2 = \sum_{k,e} \left[\left(\frac{dR_{ke}}{d\xi} \right)^2 + \frac{e(e+1)}{\xi^2} R_{ke}^2 \right],$$

и вместе с (9) образует замкнутую систему для функций u, R_{ke} . Числа заполнения N_{ke} , от которых решение зависит как от параметров, могут быть заданы в известной степени произвольно. Произвол ограничен, в частности, тем, что заметная доля запертых в каверне волн должна находиться в состояниях с $\ell = I$, так как только в этих состояниях волны создают ненулевое давление в центре каверны, препятствуя вытеснению туда плазмы. Ниже, для простоты, предполагается, что все волны находятся в состояниях с $\ell = I$, причем заселен лишь один из имеющихся триплетов. В силу симметрии уравнений (9), (II) относительно преобразования

$$\begin{aligned} \xi &\rightarrow \lambda \xi, & R_{ke} &\rightarrow \lambda R_{ke}, \\ u &\rightarrow \lambda^{-2} u, & Q_{ke} &\rightarrow \lambda^{-2} Q_{ke}, \end{aligned}$$

"энергию связи" Q_{11} , соответствующую заселенному триплету, можно, не теряя общности, считать равной единице:

$$Q_{11} = 1.$$

Уравнение (9) для радиальной собственной функции $R_{11} \equiv R$ удобно заменить следующим интегральным уравнением:

$$\begin{aligned} R(\xi) &= A(\xi + a_2 \xi^3) + \\ &+ \frac{1}{3} \int_0^\xi d\xi_1 \left\{ [u(\xi_1) + 1] R(\xi_1) - [u(0) + 1] A \xi_1 \right\} \left(\xi - \frac{\xi_1^3}{\xi^2} \right) + \\ &+ \frac{1}{15} \int_0^\xi d\xi_1 [u(\xi_1) - u(0)] \left[R(\xi_1) \left(-5\xi_1 + 6 \frac{\xi_1^3}{\xi^2} - \frac{\xi_1^3}{\xi_1^2} \right) + \right. \\ &\left. + \frac{1}{2} \frac{dR(\xi_1)}{d\xi_1} \left(-5\xi_1^2 + 3 \frac{\xi_1^4}{\xi^2} + 2 \frac{\xi_1^3}{\xi_1^2} \right) \right]. \end{aligned} \quad (12)$$

Интегральная форма уравнения (II) хорошо известна (см., например, [4,6]):

$$u(\xi) = \frac{9}{4\xi^2} \left\{ \varphi(\xi) - \varphi(0) - \frac{1}{2\xi} \int_0^\xi d\xi_1 \xi_1^{3/2} [\varphi(\xi_1) - \varphi(0)] \right\} \quad (13)$$

§ 4. Простейшие свойства автомодельных решений

Дополненные определением функции φ :

$$\varphi(\xi) = \left(\frac{dR(\xi)}{d\xi} \right)^2 + \frac{2}{\xi^2} R^2(\xi), \quad (14)$$

уравнения (12), (13) задают аналитическое в нуле решение своих дифференциальных аналогов (9), (II). Оно зависит от двух параметров, в качестве которых можно выбрать, например, A и a_2 . Давление волн в центре каверны $\varphi(0)$ и глубина каверны $u(0)$ связаны с A и a_2 соотношениями

$$\varphi(0) = 3A^2,$$

$$u(0) = \frac{27}{28} \frac{d^2 \varphi}{d\xi^2} \Big|_{\xi=0} = \frac{135}{7} A a_2.$$

Входящее в необходимое условие устойчивости (I) поле E_s попросту равно A :

$$E_s^2 = \max_{|\vec{n}|=1} \sum_p (\vec{n} \nabla \psi_p)^2 = \frac{1}{3} \varphi(0) = A^2.$$

При произвольных значениях A и a_2 решение уравнений (12)-(14) имеет в некоторой точке ξ_s особенность вида (ср. с [4]):

$$R(\xi) \Big|_{\xi \approx \xi_s} \approx \pm \frac{2\sqrt{2}}{3} \xi_s \ln \left(1 - \frac{\xi}{\xi_s} \right), \quad u(\xi) \Big|_{\xi \approx \xi_s} \approx \frac{2}{(\xi - \xi_s)^2}. \quad (15)$$

Условие регулярности решения при всех конечных значениях ξ

$$\xi_s = \infty \quad (16)$$

определяет линию $A = A(a_2)$ в плоскости параметров

A, a_2 . На этой линии асимптотика решения при $\xi \rightarrow \infty$, как нетрудно показать, имеет вид

$$R(\xi) \approx C \left(\xi + \frac{9}{2} \frac{A^2 - c^2}{\xi} \right) + \frac{B}{\xi^2}, \quad (17)$$

$$u(\xi) = \frac{9}{2} \frac{c^2 - A^2}{\xi^2}.$$

Поскольку электрическое поле вне каверны в автономных переменных (5) равно нулю, должно выполняться условие

$$c = 0. \quad (18)$$

Это условие определяет точку на линии $A = A(a_2)$.

Асимптотика автономного возмущения концентрации при

$\xi \rightarrow \infty$:

$$u(\xi) \underset{\xi \rightarrow \infty}{\approx} - \frac{9}{2} \frac{A^2}{\xi^2} \equiv - \frac{\beta}{\xi^2}, \quad (19)$$

позволяет судить о спектре собственных частот в области малых "энергий связи" $\Omega_p \ll 1$. Для обычного уравнения Шредингера с потенциалом (19) зависимость спектра от коэффициента β хорошо известна [7]: при $\beta < \beta_e \equiv (e + \frac{1}{2})^2$ связанные состояния с орбитальным моментом e и достаточно малой энергией связи отсутствуют, а при $\beta > \beta_e$ их имеется бесконечное множество. Уравнение (6) с потенциалом (19) отличается от уравнения Шредингера обычного вида с тем же потенциалом, но может быть исследовано по описанной в [7] схеме. Результат оказывается аналогичным, меняется лишь выражение для критического значения коэффициента β :

$$\beta_e = \left(e + \frac{1}{2} - \frac{1}{e + \frac{1}{2}} \right)^2. \quad (20)$$

Таким образом, условие существования в каверне бесконечного числа связанных состояний с орбитальным моментом e (сгущающихся по мере уменьшения энергии связи) имеет вид

$$E_s^2 \equiv A^2 > \tilde{A}_e^2 \equiv \frac{2}{9} \left(e + \frac{1}{2} - \frac{1}{e + \frac{1}{2}} \right)^2. \quad (21)$$

Расположенные в порядке возрастания, величины \tilde{A}_e^2 образуют такую последовательность:

$$\tilde{A}_1^2 = \frac{25}{162},$$

$$\tilde{A}_0^2 = \frac{1}{2},$$

$$\tilde{A}_2^2 = \frac{49}{50},$$

$$\tilde{A}_3^2 = \frac{225}{98},$$

.....

Для решений, удовлетворяющих необходимому условию устойчивости (1), неравенство (21) может выполняться только при $e \leq 2$.

§ 5. Результаты численных расчетов

Дифференцирование (12) по ξ приводит к уравнению

$$\begin{aligned} \frac{dR(\xi)}{d\xi} &= A(1 + 3a_2 \xi^2) + \\ &+ \frac{1}{3} \int_0^\xi d\xi_1 \left\{ [u(\xi_1) + 1] R(\xi_1) - [u(0) + 1] A \xi_1 \right\} \left(1 + 2 \frac{\sqrt{\xi_1^3}}{\xi^3} \right) + \\ &+ \frac{1}{5} \int_0^\xi d\xi_1 [u(\xi_1) - u(0)] \left[-R(\xi_1) \left(4 \frac{\xi_1^3}{\xi^3} + \frac{\sqrt{\xi_1^2}}{\xi^2} \right) + \right. \\ &\left. + \frac{dR(\xi_1)}{d\xi_1} \left(\frac{\xi^2}{\xi_1} - \frac{\xi_1^4}{\xi^3} \right) \right]. \end{aligned} \quad (22)$$

Система нелинейных интегральных уравнений (12)-(14), (22) представима в виде

$$v(\xi) = f(\xi) + \int_0^{\xi} d\xi_1 \mathcal{K}(\xi, \xi_1, v(\xi_1)), \quad (23)$$

где $v = (R, \frac{dR}{d\xi}, u)$ - искомая, а f и \mathcal{K} - заданные трехкомпонентные функции. Представление (23) позволяет эффективно решать задачу различными численными методами. Фактически использовался следующий метод: с помощью (23) по известным значениям $v(\xi_1)$ на отрезке $(0, \xi)$ вычислялись первые 10-15 производных v в точке ξ , а по ним - значения v на отрезке $(\xi, \xi+h)$. Количество производных и величина h подбирались так, чтобы обеспечить заданную точность вычислений; реально величина h равнялась 0,2+0,5. Расчеты показали, что при произвольных значениях A и a_2 решение действительно имеет особенность вида (15). Определяемая условием (16) линия $A = A(a_2)$ изображена на рис.1. При переходе через эту линию асимптотика (15) функции $R(\xi)$ меняет знак (см. рис.2). Фигурирующая в асимптотике (17) функция $C(a_2)$ также изображена на рис.1. Она обращается в нуль в точке

$$\begin{aligned} a_2 &\approx -0.918, \\ A &\approx 1.032. \end{aligned} \quad (24)$$

Соответствующие точке (24) графики функций $R(\xi)$, $\frac{dR(\xi)}{d\xi}$, $\varphi(\xi)$, $u(\xi)$ приведены на рис.3. Пунктирная линия на рис.3б относится к мажоранте "потенциала" $u(\xi)$, определяемой формулой (19) с $\beta = \beta_*$:

$$\beta_* = 5.1. \quad (25)$$

Как показывает сопоставление (24), (25) с (21), в каверне имеется бесконечно много связанных состояний с $e = 0, 1, 2$ и вовсе не имеется связанных состояний с $e \geq 3$.

Следует заметить, что решающим моментом проделанных расчетов явилось вычисление величины C , - именно этим этапом вычислений определялась точность конечных результатов. Дело в том, что для вычисления C необходимо было добраться до асимптотики (17), отодвинув как можно дальше точку возникновения особенности ξ_s (которая в реальных расчетах, разумеется, всег-

да была конечна). Для достижения же больших значений ξ_s потребовалась экспоненциально высокая точность расчетов, так как

$$\xi_s \approx \ln \delta^{-1}, \quad (25)$$

где δ - погрешность. Оценка (25) связана с экспоненциальным разбеганием решений уравнений (12) в области $1 \ll \xi \ll \xi_s$. Из-за погрешности δ коэффициент при растущей экспоненте не равен нулю, и в указанной области

$$\frac{dR(\xi)}{d\xi} - c \approx \delta e^{\xi}$$

При $\xi \approx \ln \delta^{-1}$ электрическое поле начинало возрастать с увеличением ξ и решение выходило на особенность (15). В описанных выше расчетах были достигнуты значения $\xi_s \approx 20 \div 30$.

§ 6. Заключение

Изменяя параметры, от которых зависит семейство автомодельных решений системы (2)-(4), можно непрерывным образом переводить найденное выше автомодельное решение в другие, несимметричные решения; а так как необходимое условие устойчивости (I) выполняется в рассмотренном примере с запасом, этот пример свидетельствует о существовании довольно широкого класса автомодельных решений, удовлетворяющих (I). Таким образом, имеющий место в скалярной модели коллапс запрет существования устойчивых автомодельных решений не распространяется на коллапс ленгмюровских волн. Вопрос о достаточности необходимого условия устойчивости (I) и установлении удовлетворяющих ему решений в настоящее время не ясен. Наиболее доступным путем исследования этого вопроса представляется усовершенствование численных расчетов, посвященных решению задачи Коши для описывающих коллапс уравнений.

Л и т е р а т у р а:

1. Захаров В.Е. ЖЭТФ, 1972, 62, 1745.
2. Литвак Л.Г., Фрайман Г.М., Юнаковский А.Д. Письма в ЖЭТФ, 1974, 19, 23.
3. Галеев А.А., Сагдеев Р.З., Сигов Ю.С., Шапиро В.Д., Шевченко В.И. Физика плазмы, 1975, 1, 10.
4. Захаров В.Е., Шур Л.Н. ЖЭТФ, 1981, 81, 2019.
5. Малкин В.М. К вопросу о динамике коллапса ленгмюровских волн. Препринт ИЯФ СО АН СССР. Новосибирск, 1984, №
6. Фрайман Г.М. Письма в ЖЭТФ, 1979, 30, 557.
7. Ландау Л.Д., Лифшиц Е.М. Квантовая механика, Москва, "Наука", 1974, § 35.

Подписи к рисункам

- Рис. 1. Линии $A(a_2)$ и $C(a_2)$.
- Рис. 2. Функция $R(\xi)$ при двух значениях параметров A и a_2 , близких к кривой $A(a_2)$ и лежащих по разные стороны от неё:
 $a_2 = -0.68$; $A = 1.05200465 \pm 5 \times 10^{-8}$.
- Рис. 3. Автомодельное решение:
 а) графики функций $R(\xi)$, $\frac{dR(\xi)}{d\xi}$;
 б) графики функций $\varphi(\xi)$, $u(\xi)$
 и мажоранты "потенциала" u (пунктиром).

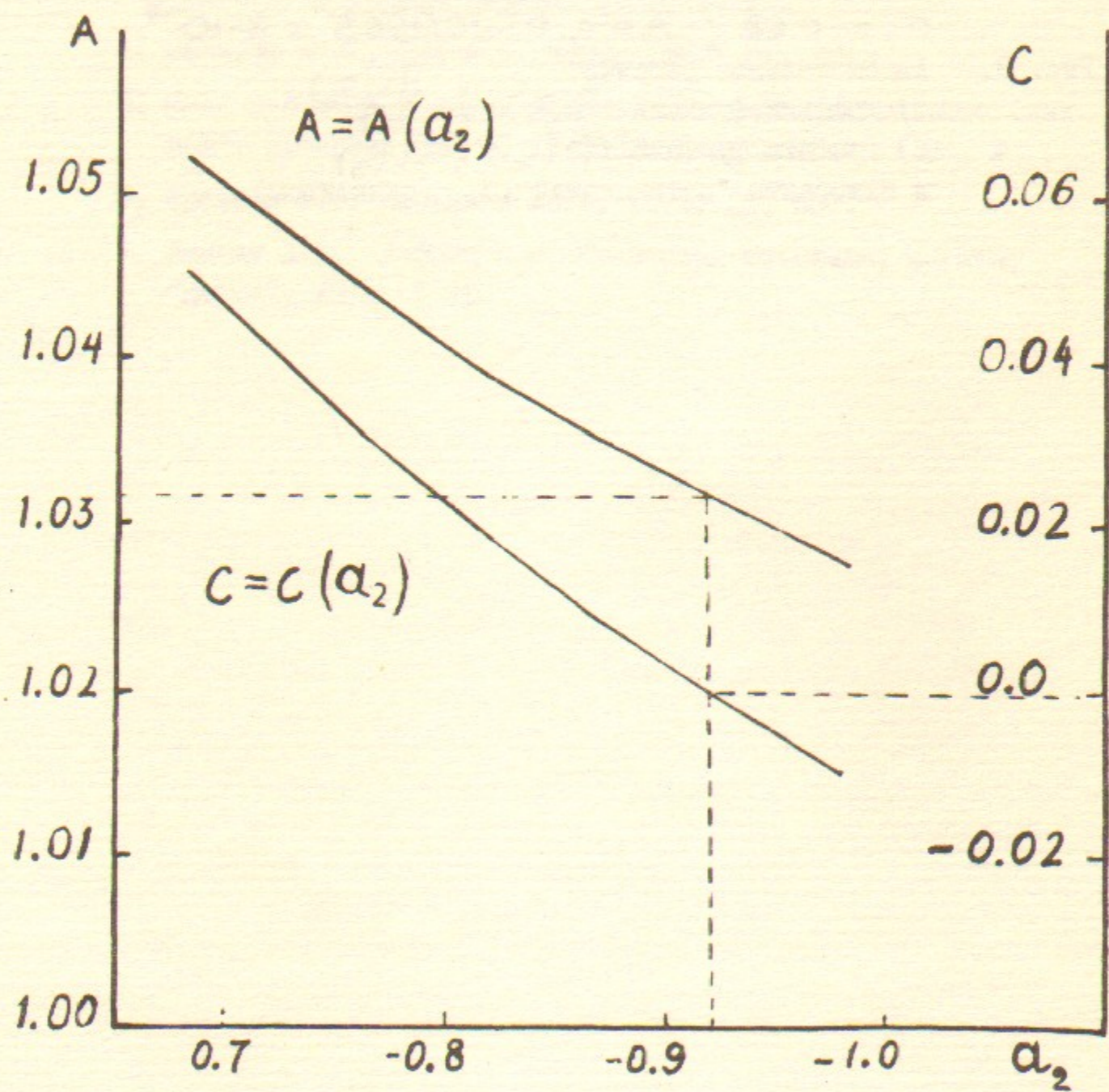


Рис. 1

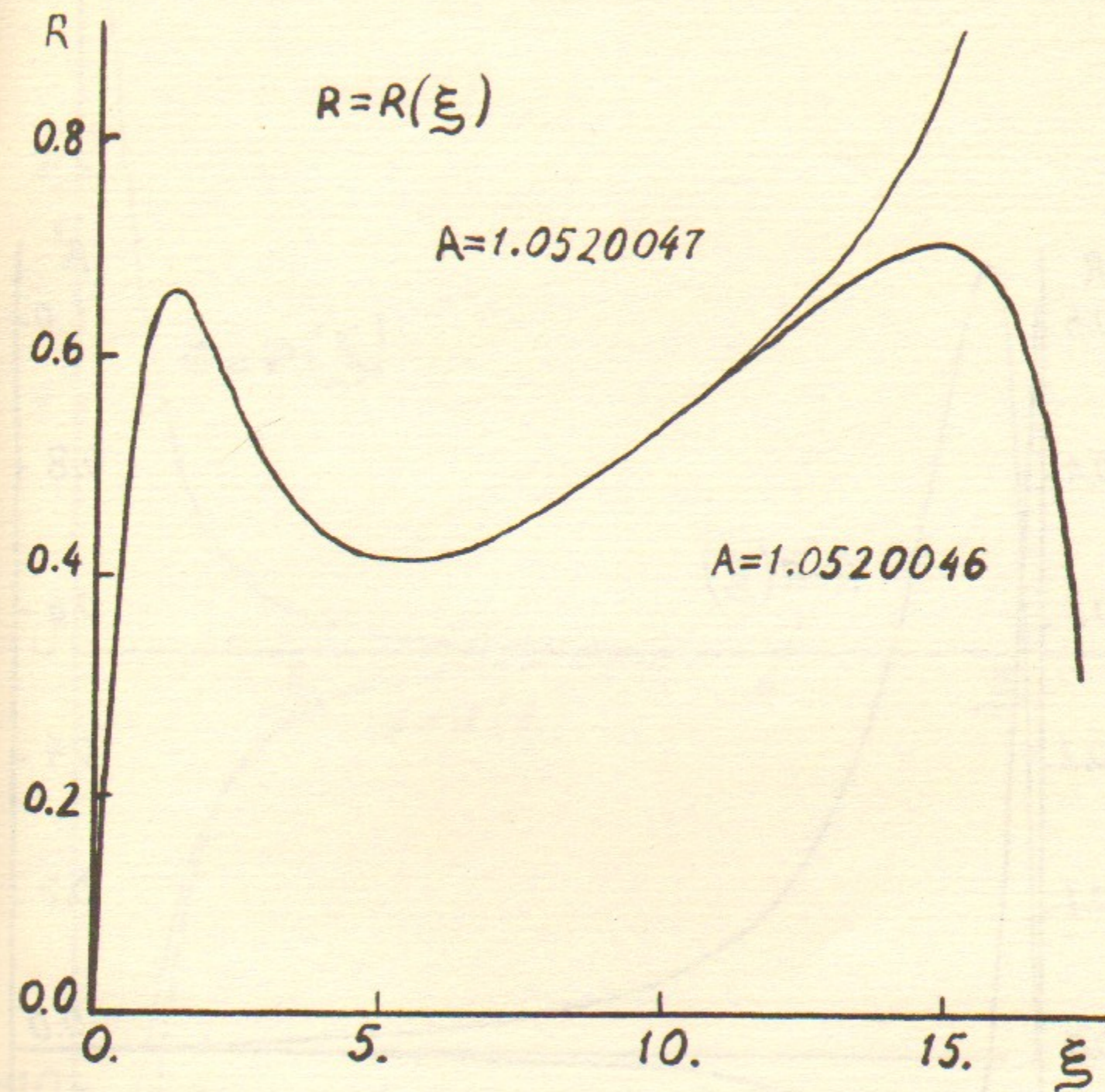


Рис. 2

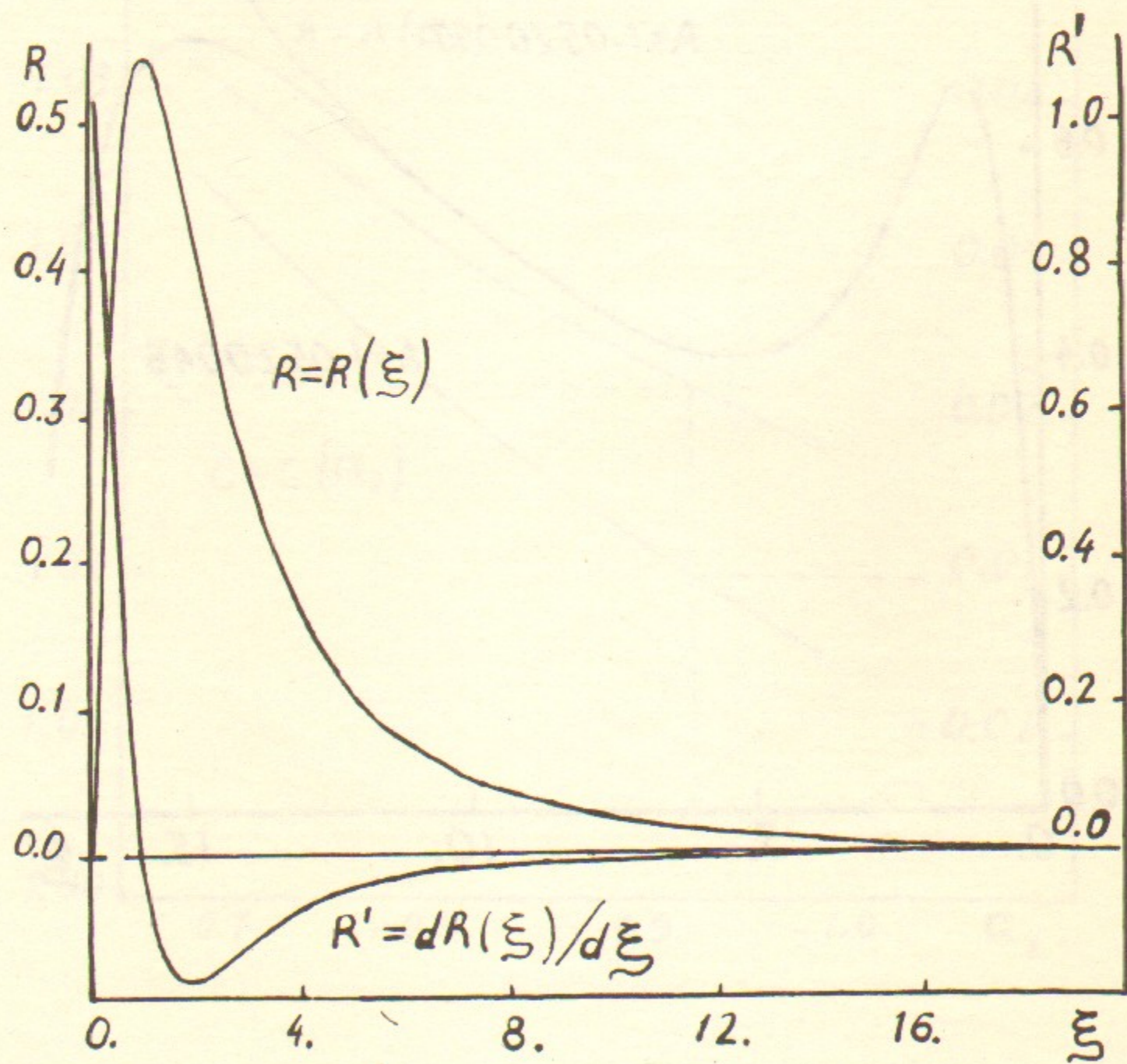


Рис. 3а.

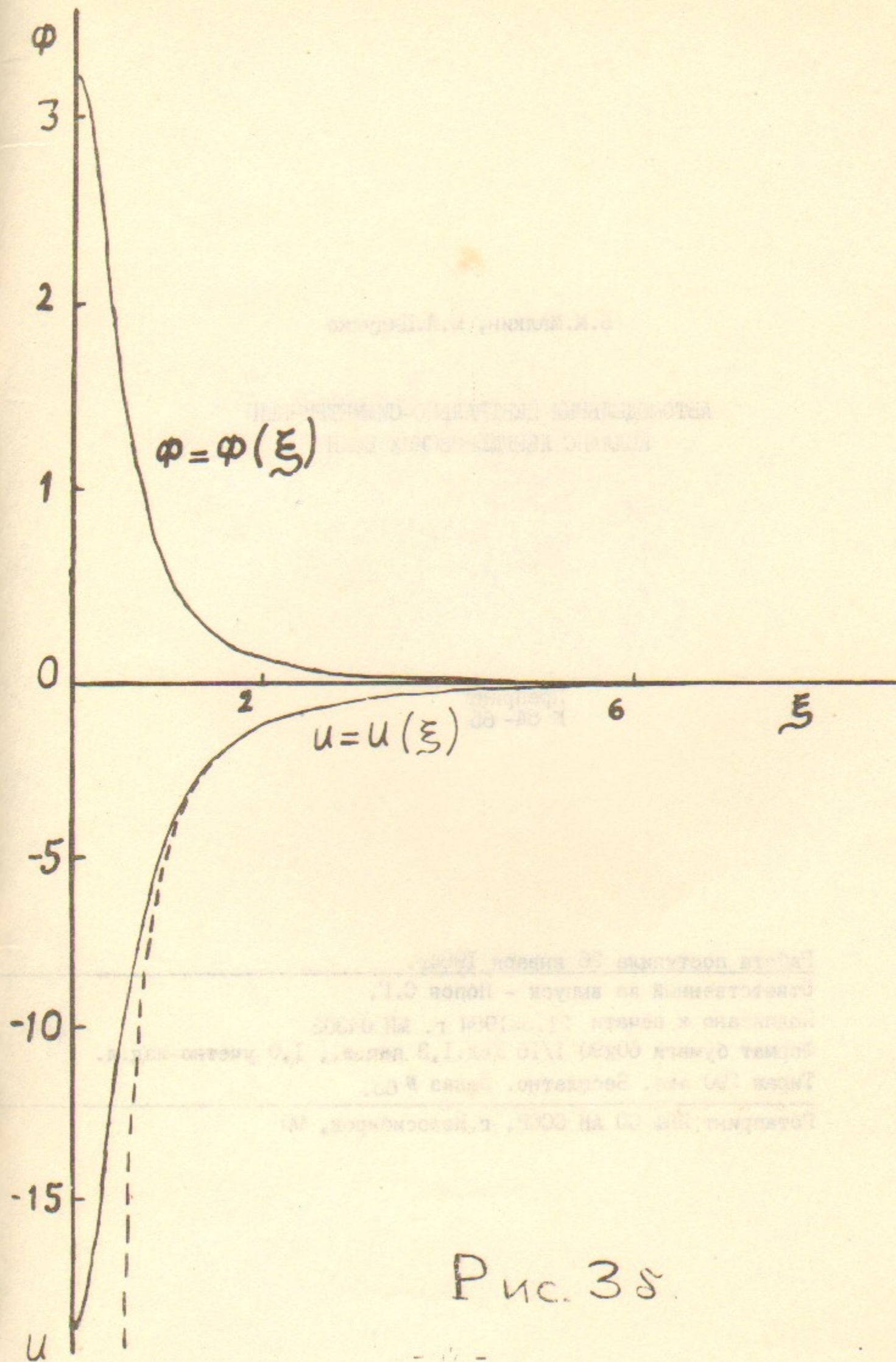


Рис. 3б.

Б.М.Малкин, Ю.А.Цидулко

АВТОМОДЕЛЬНЫЙ ЦЕНТРАЛЬНО-СИММЕТРИЧНЫЙ
КОЛЛАПС ЛЕНГМОРОВСКИХ ВОЛН

Препринт
№ 84-65

Работа поступила 26 января 1984г.

Ответственный за выпуск - Попов С.Г.

Подписано к печати 21.5-1984 г. МН 04303

Формат бумаги 60x90 1/16 Усл.1,3 печ.л., 1,0 учетно-изд.л.

Тираж 290 экз. Бесплатно. Заказ № 65.

Ротапринт ИЯФ СО АН СССР, г.Новосибирск, 90